



**IFSC UNIVERSIDADE  
DE SÃO PAULO**  
Instituto de Física de São Carlos

# **Projeto 04**

## Movimento oscilatório

**Jefter Santiago Mares**  
n° USP:12559016

12 de novembro de 2022

### Conteúdo

<b>1</b>	<b>Tarefa A</b>	<b>2</b>
<b>2</b>	<b>Tarefa B</b>	<b>8</b>
<b>3</b>	<b>Tarefa C</b>	<b>8</b>
<b>4</b>	<b>Tarefa D</b>	<b>8</b>
<b>5</b>	<b>Tarefa E</b>	<b>8</b>
<b>A</b>	<b>Demonstração da integral elíptica</b>	<b>i</b>

## Tarefa A

O objetivo dessa tarefa é implementar o método de Euler e o método de Euler-Cromer para discretização do sistema do pêndulo simples. Primeiramente vamos analisar as equações diferenciais que descrevem o sistema.

A força atuando no sistema pode ser escrita como  $ma_\theta = ml \frac{d^2}{dt^2} \theta = -gm \sin \theta$  e podemos aproximar o seno fazendo uma expansão de Taylor, temos então

$$\sin \theta = \sum_{n=0}^{\infty} (-1)^n \frac{\theta^{2n+1}}{(2n+1)!} = \theta - \frac{1}{3!} \theta^3 + \frac{1}{5!} \theta^5 + \dots$$

para  $\theta \rightarrow 0 \Rightarrow \sin \theta \approx \theta$ , segue que

$$\frac{d^2}{dt^2} \theta \approx -\frac{g}{l} \theta \quad (1)$$

a (1) é uma EDO linear e pode ser representada por um sistema de equações diferenciais acopladas

$$\frac{d^2}{dt^2} \theta = \begin{cases} \omega = \frac{d}{dt} \theta \\ \frac{d}{dt} \omega = -\frac{g}{l} \theta \end{cases} \quad (2)$$

discretizando as (1) temos o método de Euler

$$\omega_{i+1} = \omega_i - \left(\frac{g}{l}\right) \theta_i \Delta t \quad (3)$$

$$\theta_{i+1} = \theta_i + \omega_i \Delta t \quad (4)$$

o método de Euler-Cromer é uma variação do anterior, é representado pelas equações abaixo

$$\omega_{i+1} = \omega_i - \left(\frac{g}{l}\right) \theta_i \Delta t \quad (5)$$

$$\theta_{i+1} = \theta_i + \omega_{i+1} \Delta t \quad (6)$$

## Código em Fortran

```
1      implicit real * 8 (a-h, o-z)
2
3      parameter(n = 1000)
4      parameter(tt = 50)
5      parameter(pi = acos(-1.0d0))
6
7      !      Gravidade
8      parameter(p = 9.8d0)
9      !      Comprimento
10     parameter(s = 9.8d0)
11     dt = (tt * 1.0d0) / (n * 1.0d0)
12
13     tt1 = (2 * pi) / 48d0
14     omg1 = 0.0d0
15     e1 = (1.0d0/2.0d0)*s**2
16
17     tt2 = tt1
18     omg2 = omg1
19     e2 = e1
20
21     open(10, file="data-oscilacoes.dat")
22     open(11, file="data-energias.dat")
23
```

Listing 1: Declaração das variáveis utilizadas.

```

1      do i = 1, n
2
3          t = t + dt
4
5      !      Metodo de Euler
6          tmp_omg1 = omg1 - tt1 * dt
7          tmp_tt1 = tt1 + omg1 * dt
8
9          omg1 = tmp_omg1
10         tt1 = tmp_tt1
11
12     !      Metodo de Euler-Cromer
13         tmp_omg2 = omg2 - tt2 * dt
14         tmp_tt2 = tt2 + tmp_omg2 * dt
15
16         omg2 = tmp_omg2
17         tt2 = tmp_tt2
18
19     !      Energia do sistema
20         e1 = e1 + (1.0d0/2.0d0) * s ** 3 * (omg1**2 + tt1**2)
21         e2 = e2 + (1.0d0/2.0d0) * s ** 3 * (omg2**2 + tt2**2)
22
23         write(10, *) t, omg1, tmp_tt1, omg2, tmp_tt2
24         write(11, *) t, e1, e2
25     end do
26     close(10)
27     close(11)
28     end

```

Listing 2: Estrutura dos cálculos e impressão nos arquivos `saida-oscilacoes.dat` e `saida-energias.dat`

## Resultados

Apesar do sistema ser oscilatório e sem presença forças dissipativas, o método de Euler apresenta um comportamento contrário ao esperado. A amplitude das oscilações aumenta com o tempo. O método pode não apresentar esse comportamento se a escala de tempo utilizada for muito curta, mas para períodos maiores de tempo fica aparente.

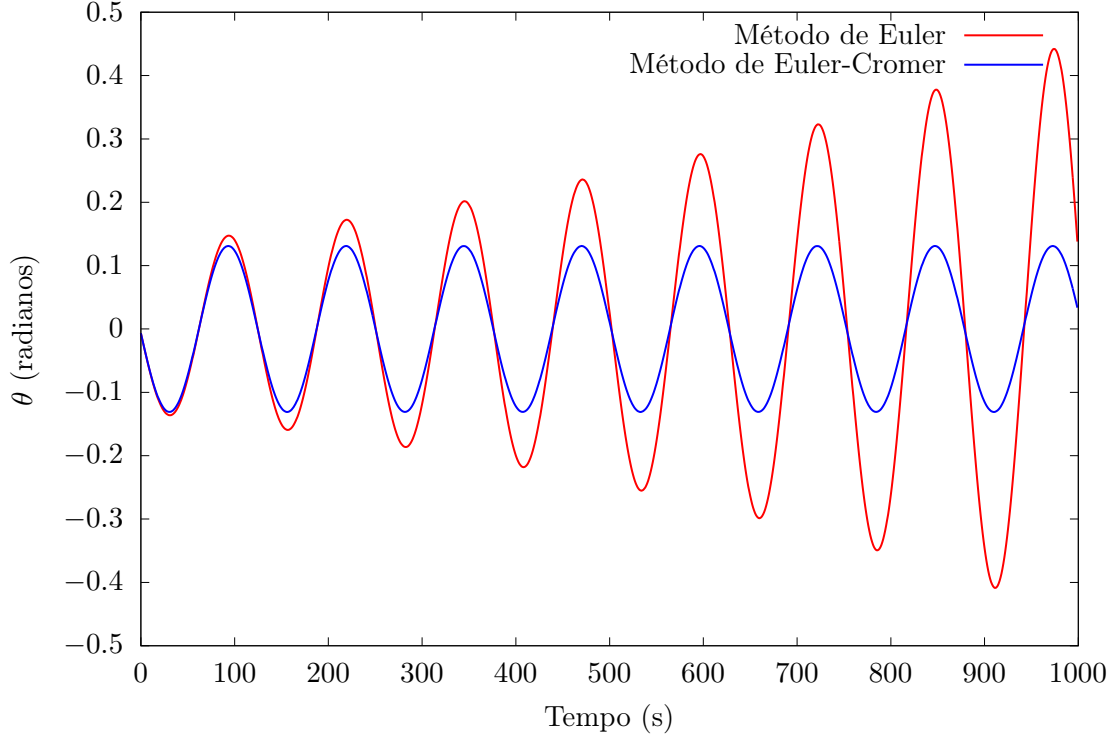


Figura 1: Valores de  $\theta$  pelo tempo  $t$  usando método de Euler e o método de Euler-Cromer.

Para entender essa instabilidade do método podemos analisar o comportamento da energia mecânica do sistema.

$$E = \Delta K + \Delta U$$
$$E = \frac{1}{2}mv^2 + mg\Delta h$$

Fazemos  $v = \omega l$  e como  $\Delta U = mg(h_0 - h)$ , onde  $h_0$  é a posição mais baixa da trajetória, ou seja, a posição onde a altura onde  $h_0 = l$  e  $h = l \cos \theta$ , então  $\Delta U = mgl(1 - \cos \theta)$ . Segue que

$$E = \frac{1}{2}m\omega^2 l^2 + mgl(1 - \cos \theta) \quad (7)$$

Note que essa equação cresce pra qualquer valor de  $\theta$  conforme  $t$  aumenta, essa é a fonte da instabilidade do método de Euler. Ao contrário do método de Euler-Cromer, que consegue conservar energia sob períodos inteiros de oscilação, ele aumenta a energia do mais rapidamente e uma consequência disso é o aumento da amplitude da oscilação a cada iteração, como está claro no gráfico (1).

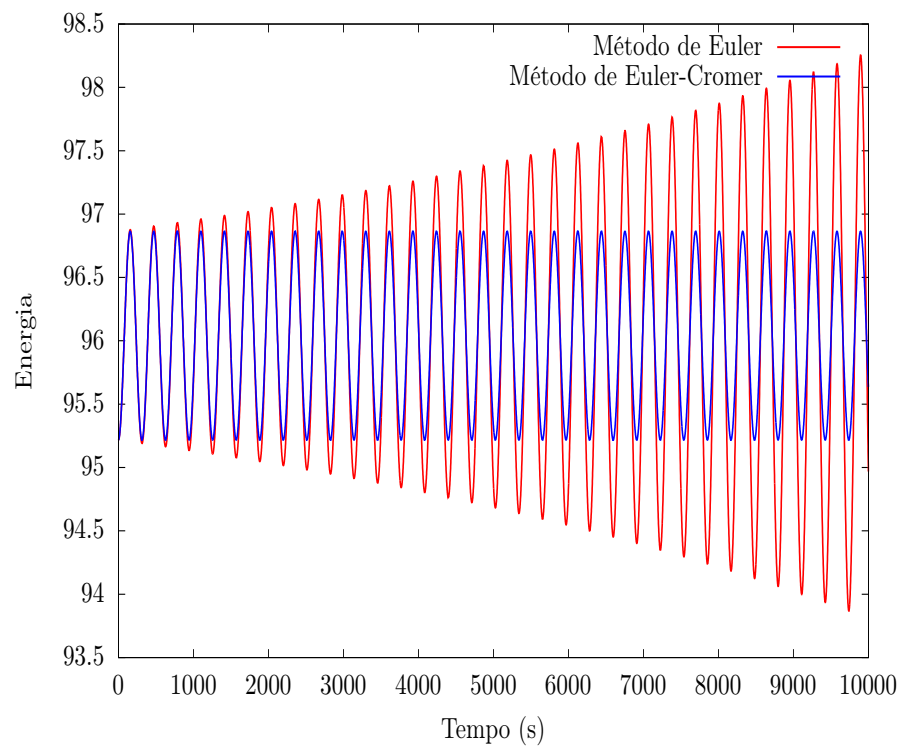


Figura 2: Energia do sistema calculada pelo método de Euler e Euler-Cromer.

Para melhor destacar esse comportamento da energia em ambos casos, foi feito o gráfico abaixo da energia calculada para cada método em cada iteração.

Essa diferença de precisão entre os dois métodos fica ainda mais visível para  $t$  muito grande, abaixo segue um gráfico mostrando o comportamento da oscilação e das energias para  $t = 500(s)$  e  $n = 10^4$  iterações.

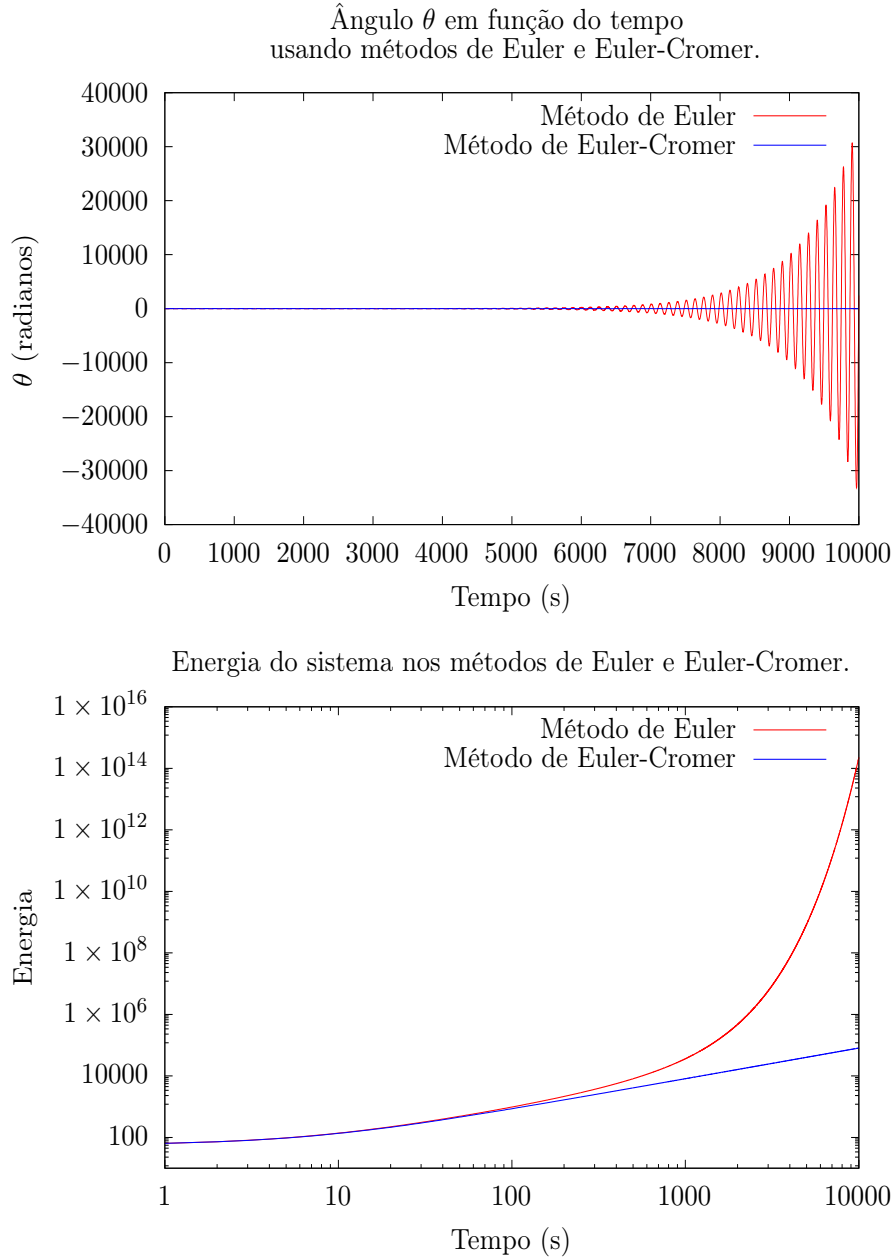


Figura 3: Gráficos com oscilações e energias usando os dois métodos para  $t = 10^4$  e  $n = 10^4$  .

Por fim, o método de Euler não é um método bom para problemas desse tipo, onde queremos analisar o comportamento oscilatório para períodos muito longos de tempo. No entanto pode ser útil para problemas em outras escalas.

## Tarefa B

Adapte o programa realizado na tarefa A para o caso abaixo, usando o algoritmo de Euler-Cromer.

$$\frac{d}{dt}\omega = -\frac{g}{l}\sin\theta - \gamma\frac{d}{dt}\theta + F_0\sin(\Omega t), \quad \frac{d}{dt}\theta = \omega$$

## Tarefa C

## Tarefa D

## Tarefa E



## Demonstração da integral elíptica

Sabemos que a energia do sistema do pêndulo é dada pela fórmula  $E = \frac{1}{2}ml^2\dot{\theta}^2 - mgl \cos \theta$  e a energia inicial do sistema é  $E = -mgl \cos \theta_0$ , fazendo

$$-mgl \cos \theta_0 = \frac{1}{2}ml^2\dot{\theta}^2 - mgl \cos \theta$$

multiplicando a equação por  $(1/m)$  temos

$$-gl \cos \theta_0 = \frac{1}{2}l^2\dot{\theta}^2 - gl \cos \theta$$

como queremos chegar numa relação que nos permite escrever o período em função do ângulo  $\theta_0$ , então vamos isolar a derivada da equação, então

$$gl(\cos \theta - \cos \theta_0) = \frac{1}{2}l^2\dot{\theta}^2$$

$$\frac{2g}{l}(\cos \theta - \cos \theta_0) = \dot{\theta}^2$$

$$\dot{\theta} = \sqrt{\frac{2g}{l}} \sqrt{\cos \theta - \cos \theta_0} = \frac{d\theta}{dt}$$

$$dt = \frac{d\theta}{\sqrt{\frac{2g}{l}} \sqrt{\cos \theta - \cos \theta_0}} = \sqrt{\frac{l}{2g}} \frac{1}{\sqrt{\cos \theta - \cos \theta_0}} d\theta$$

integrando ambos lados no intervalo  $[0, T/2]$ , ou seja  $[-\theta_0, \theta_0]$ , temos

$$\int_0^{T/2} dt = \sqrt{\frac{l}{2g}} \int_{-\theta_0}^{\theta_0} \frac{1}{\sqrt{\cos \theta - \cos \theta_0}} d\theta$$

$$\frac{T}{2} = \sqrt{\frac{l}{2g}} \int_{-\theta_0}^{\theta_0} \frac{1}{\sqrt{\cos \theta - \cos \theta_0}} d\theta$$

$$T = 2\sqrt{\frac{l}{2g}} \int_{-\theta_0}^{\theta_0} \frac{1}{\sqrt{\cos \theta - \cos \theta_0}} d\theta = \sqrt{\frac{4l}{2g}} \int_{-\theta_0}^{\theta_0} \frac{1}{\sqrt{\cos \theta - \cos \theta_0}} d\theta$$

$$\boxed{T(\theta_0) = \sqrt{\frac{2l}{g}} \int_{-\theta_0}^{\theta_0} \frac{1}{\sqrt{\cos \theta - \cos \theta_0}} d\theta} \quad (8)$$